

Devoir maison de calcul stochastique

Enzo Benbalit,
enzo.benbalit@edu.univ-paris13.fr

8 mai 2023

Table des matières

1	EXERCICE 1	2
1.1	Question 1	2
1.2	Question 2	2
1.2.1	simulerBrownien	2
1.2.2	prixBarriere	4
1.2.3	prixBarriereMaturite	6
1.2.4	Réduction de variance	6
1.3	Option barrière asiatique	8
2	EXERCICE 2 : Modèle de Cox, Ross & Rubinstein	10
2.1	introductions des différentes variables et outils utile	10
2.2	Le modèle	11
2.2.1	probabilité qu'à l'actif de monté ou descendre et viabilité du marché.	11
3	EXERCICE 3	19
3.1	Question 1 :	19
3.2	Question 2 :	21
3.2.1	les conditions $a < r$ et $0 < b < r - a$	21
3.2.2	les problèmes de Min et Max pour des valeurs de a , b et r qui respecte les condition (3.2.1)	21
3.2.3	les codes et script python	22
4	ANNEXE : liens vers les codes utilisés	24

1 EXERCICE 1

Soit l'équation différentielle stochastique :

$$dS_t = rS_t dt + \sigma S_t dW_t \quad (1)$$

Avec $(W_t)_{t \geq 0}$ un mouvement brownien issu de 0.

1.1 Question 1

Théorème 1.1 (Formule d'Itô). Soit $(X_t)_{t \geq 0}$ un processus d'Itô et f une fonction de classe \mathcal{C}^2 de $\mathbb{R}^+ \times \mathbb{R} \rightarrow \mathbb{R}$ alors :

$$f(t, X_t) = f(0, X_0) + \int_0^t \frac{\partial f}{\partial s}(s, X_s) ds + \int_0^t \frac{\partial f}{\partial x}(s, X_s) dX_s + \frac{1}{2} \int_0^t \frac{\partial^2 f}{\partial x^2}(s, X_s) d\langle X, X \rangle_s$$

$(W_t)_{t \geq 0}$ est un $(\mathcal{F}_t)_{t \geq 0}$ -mouvement brownien, c'est donc un processus d'Itô. D'après le théorème précédent appliqué à :

$$S_t = f(t, W_t) = S_0 e^{\sigma W_t + (r - \frac{\sigma^2}{2})t} \quad (2)$$

Nous avons :

$$\begin{aligned} S_t &= S_0 e^{\sigma W_0} + \int_0^t S_0 \left(r - \frac{\sigma^2}{2}\right) e^{\sigma W_s + (r - \frac{\sigma^2}{2})s} ds + \int_0^t S_0 \sigma e^{\sigma W_s + (r - \frac{\sigma^2}{2})s} dW_s + \frac{1}{2} \int_0^t S_0 \sigma^2 e^{\sigma W_s + (r - \frac{\sigma^2}{2})s} ds \\ &= S_0 e^{\sigma W_0} + \int_0^t r S_0 e^{\sigma W_s + (r - \frac{\sigma^2}{2})s} ds + \int_0^t \sigma S_0 e^{\sigma W_s + (r - \frac{\sigma^2}{2})s} dW_s \\ &= S_0 e^{\sigma W_0} + \int_0^t r S_s ds + \int_0^t \sigma S_s dW_s \end{aligned}$$

On a donc $dS_t = rS_t dt + \sigma S_t dW_t$, S_t est donc bien solution de (1).

1.2 Question 2

Soit,

$$\pi_T = e^{-rT} \mathbb{E}[(S_T - K)_+ \mathbf{1}_{\{Max_{t \in [0, T]} S_t > B\}}]$$

le prix d'une option Barrière, de maturité T et de strike K. Avec S_t définie en (2).

1.2.1 simulerBrownien

Soit $(B_t)_{t \geq 0}$ un $(\mathcal{F}_t)_{t \geq 0}$ -mouvement brownien issu de 0. On a :

$$\begin{aligned} \forall s \leq t, B_t - B_s &\perp \mathcal{F}_s \\ \forall s \leq t, B_t - B_s &\sim N(0, t - s) \end{aligned}$$

Soit $n \in \mathbb{N}^*$, $T > 0$, on note $h = \frac{T}{n}$ et $\forall i \in \{1, \dots, N\}$,

$$\begin{aligned} B_{ih} &= B_{(i-1)h} + (B_{ih} - B_{(i-1)h}) \quad \text{avec} \quad (B_{ih} - B_{(i-1)h}) \perp \mathcal{F}_{(i-1)h} \\ &\quad \text{et} \quad (B_{ih} - B_{(i-1)h}) \sim N(0, h) \end{aligned}$$

Notons $N_h = B_{ih} - B_{(i-1)h} \sim N(0, h)$, on a $B_{ih} = B_{(i-1)h} + N_h, \forall i \in \{1, \dots, n\}$

Remarque 1.2. Une réalisation de notre mouvement brownien à l'instant i se calcul par l'addition de notre mouvement brownien à l'instant $i - 1$ et de la réalisation d'une v.a. de loi $N(0, h)$

Voici le code implémenté pour la simulation du mouvement brownien issu de 0 :

```
1 def simulerBrownien(T,n):
2     h=T/n
3     W=np.zeros(n+1)
4     for i in range(n):
5         W[i+1]=npr.normal(loc=0,scale=np.sqrt(h))+W[i] #W[i+1]=N(0,h)+W[i]
6     return W
```

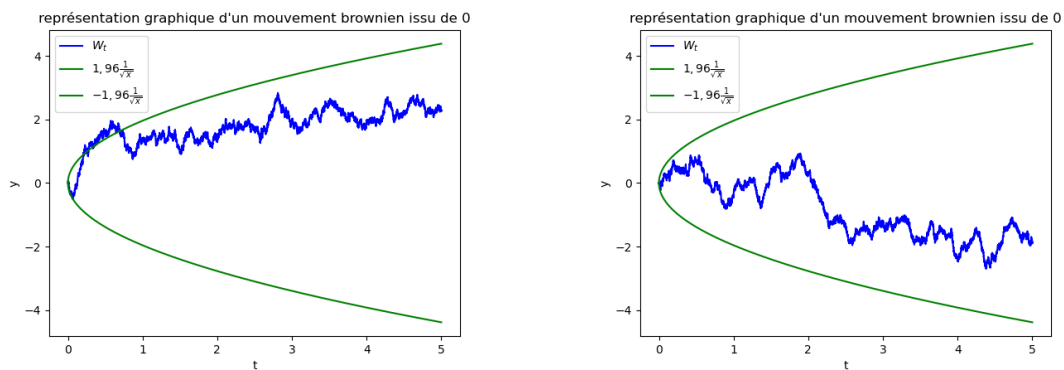


FIGURE 1 – Simulation d'un mouvement brownien issu de 0 dans l'intervall $[0, T]$ avec $T = 5$ (la simulation à été faite à partir de la fonction `simulerBrownien` et est représentée graphiquement à l'aide d'un script python).

Observation : Les mouvements brownien simulés ont tendance à tendre vers l'infini avec une vitesse \sqrt{n} , cela s'observe théoriquement grâce à la propriété de scaling.

Voici le code implémenté pour la simulation du mouvement brownien géométrique :

```
1 def simulerSt(r,s,T,n,S0):
2     #on simule notre mouvement brownien W_t puis on calcul S_t
3     #qui est une "fonction" de W_t
4     W=q2a.simulerBrownien(T,n)
5     h=T/n
6     St=np.zeros(n+1)
7     for i in range(n+1):
8         St[i]=S0*np.exp(s*W[i]+(r-(s*s/2)*i*h))
9     return St
```

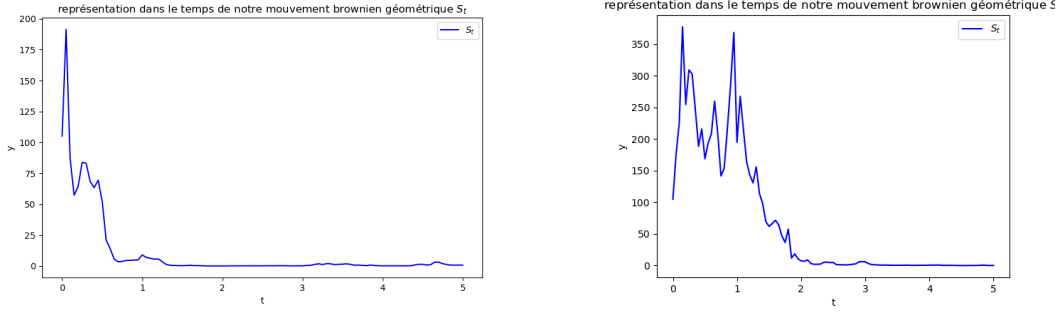


FIGURE 2 – Évolution du mouvement brownien géométrique pour les valeurs $T = 5$, $r = 0.05$, $\sigma = 2$, $S_0 = 100$, $K = 95$, $B = 105$, $n = 100$.

1.2.2 prixBarriere

i) Loi forte des grands nombres :

Théorème 1.3 (Loi Forte des Grands Nombres). *Soit $(X_n)_{n \geq 1}$ une suite de v.a intégrable et i.i.d, alors :*

$$S_n = \frac{X_1 + \dots + X_n}{n} \xrightarrow[n \rightarrow \infty]{} \mathbb{E}[X_1] \quad p.s$$

$\forall T \geq 0$, $n \in \mathbb{N}^*$ on note $X_T^{(n)} = e^{-rT}(S_T^{(n)} - K) + \mathbf{1}_{\{Max_{t \in [0, T]} S_t^{(n)} > B\}}$, par construction, les $(X_T^{(i)})_{i \geq 1}$ sont i.i.d.

• Montrons que $\forall i \in \{1, \dots, n\}$, $X_T^{(i)} \in L^2(\mathbb{R}_+, \mathcal{B}(\mathbb{R}_+), \mathbb{P})$:

$$\begin{aligned} \forall n \geq 1, \mathbb{E}[(X_T^{(n)})^2] &= e^{-rT} \mathbb{E}\left[\left((S_T^{(n)} - K) + \mathbf{1}_{\{Max_{t \in [0, T]} S_t^{(n)} > B\}}\right)^2\right] = e^{-rT} \mathbb{E}\left[\left((S_T - K) + \mathbf{1}_{\{Max_{t \in [0, T]} S_t > B\}}\right)^2\right] \quad (\text{par i.i.d}) \\ &= e^{-rT} \mathbb{E}\left[\left((S_T - K)_+ + \mathbf{1}_{\{Max_{t \in [0, T]} S_t > B\}}\right)^2\right] \\ &= e^{-rT} \mathbb{E}\left[\left((S_T - K)_+ + \mathbf{1}_{\{Max_{t \in [0, T]} S_t > B\}}\right)^2\right] \\ &\leq \mathbb{E}\left[(S_T - K)_+^2\right] = \mathbb{E}\left[(S_T - K)^2 \mathbf{1}_{\{S_T > K\}}\right] \\ &\leq \mathbb{E}\left[(S_T - K)^2\right] \\ &= \mathbb{E}\left[S_T^2 - 2KS_T + K^2\right] \\ &= \mathbb{E}\left[S_T^2\right] - 2K\mathbb{E}[S_T] + K^2 \leq \infty \end{aligned}$$

En effet, Soit $X \sim N(m, \mu^2)$ alors $\forall \lambda \in \mathbb{C}$, $\mathbb{E}[e^{\lambda X}] = e^{\lambda m + \frac{\lambda^2}{2} \mu^2}$ (Transformée de Laplace).

Ainsi, $\forall m \geq 0$, $\mathbb{E}[S_T^m] = S_0 \mathbb{E}\left[\left(e^{\sigma W_t + (r - \frac{\sigma^2}{2})t}\right)^m\right] = S_0 \mathbb{E}\left[e^{\sigma m W_t + (r - \frac{\sigma^2}{2})tm}\right] = S_0 e^{(r - \frac{\sigma^2}{2})tm + \frac{(\sigma m)^2}{2}t} \leq \infty$

On a donc bien montrer que $\forall i \in \{1, \dots, n\}$, $X_T^{(i)} \in L^2(\mathbb{R}_+, \mathcal{B}(\mathbb{R}_+), \mathbb{P})$, en faite, $X_T^{(i)} \in L^p$, $p \geq 1$, en effet, l'exponentielle de gaussienne admet des moments de tout ordre par la transformée de Laplace. Ainsi, par la loi forte des grands nombres,

$$\forall T \geq 0, \quad \bar{\pi}_T = \frac{X_T^{(1)} + \dots + X_T^{(n)}}{n} \xrightarrow[n \rightarrow \infty]{} e^{-rT} \mathbb{E}\left[(S_T - K)_+ + \mathbf{1}_{\{Max_{t \in [0, T]} S_t > B\}}\right] = \pi_T \quad p.s \quad (3)$$

ii) construction de l'intervalle de confiance asymptotique à 95% :

Théorème 1.4 (Théorème Centrale Limite). *Soit $(X_i)_{i \geq 0}$ un suite de v.a i.i.d, de carré intégrable, d'espérance μ et de variance σ^2 , alors :*

$$\frac{S_n - n\mu}{\sigma\sqrt{n}} \xrightarrow[n \rightarrow \infty]{Loi} N(0, 1)$$

On a montrer dans i) que les $(X_T^{(i)})_{i \geq 1} \in L^2(\mathbb{R}_+, \mathcal{B}(\mathbb{R}_+), \mathbb{P})$ ainsi par le théoreme centrale limite,

$$\frac{\sum_{i=1}^n X_T^{(i)} - n\mu}{\sigma\sqrt{n}} \xrightarrow[n \rightarrow \infty]{Loi} N(0, 1)$$

Or dans notre cas σ^2 est inconnue, on l'approche donc en utilisant la loi des grands nombres par :

$$\bar{\sigma}^2 = \frac{1}{n} \sum_{i=1}^n (X_T^{(i)} - \bar{X}_n)^2 \quad \text{avec} \quad \bar{X}_n = \sum_{i=1}^n X_i$$

Ainsi, un interval de confiance pour la moyenne au seuil $\alpha = 0.05$ est :

$$IC(95) = \left[\bar{X}_n - 1,96\sqrt{\frac{\bar{\sigma}^2}{n}}; \bar{X}_n + 1,96\sqrt{\frac{\bar{\sigma}^2}{n}} \right]$$

De plus, $\forall i \in \{1, \dots, n\}$, $X_T^{(i)} \geq 0$ donc $\mathbb{E}[X_T] \geq 0$. On peut donc rogner la borne inférieure de l'intervall de confiance sans perte de precision, on a donc l'intervall de confiance pour la moyenne au seuil $\alpha = 0.05$:

$$IC(95) = \left[\text{Max}\left(\bar{X}_n - 1,96\sqrt{\frac{\bar{\sigma}^2}{n}}, 0\right); \bar{X}_n + 1,96\sqrt{\frac{\bar{\sigma}^2}{n}} \right]$$

Voici le code implémenté de *prixBarriere* ainsi que quelques résultat pour $\bar{\pi}_T$, $\bar{\sigma}^2$ et $IC(95)$ pour $n = 100$:

```
1 def simulerXTseed(S_t,r,s,S0,K,B,T):
2 # permet de simuler une realisation de X_T
3 ST=0
4 if max(S_t[-1]-K,0.)!=0 and max(S_t)>B:
5     ST=np.exp(-r*T)*(S_t[-1]-K) #S_t[-1] donne le dernier elements
6     return ST
7
8 def prixBarriere(r,s,S0,K,B,n,T):
9 #on simule piT et sig2 par la methode de monte-carlo
10 #on a piT l'esperance empirique et sig2 la variance empirique
11 piT=0
12 sig2=0
13 ST=np.zeros(n)
14 S_t=np.zeros(n)
15 for i in range(n):
16     S_t=simulerSt(r,s,T,n,S0)
17     ST[i]=simulerXTseed(S_t,r,s,S0,K,B,T) #on garde en memoire chaque X_t
18     piT=piT+ST[i] #afin de calculer sig2 avec le
19 #meme n-echantillon de X_t
20
21 for i in range(n):
22     sig2=sig2+(ST[i]-piT)*(ST[i]-piT)
23 sig2=sig2/n
24
25 IC=[piT-1.96*np.sqrt(sig2/n),piT+1.96*np.sqrt(sig2/n)]
26 IC[0]=max(0.,IC[0]) #etant donner que X_t>=0, on peut rogner l'IC
27 return piT,sig2,IC #sans perte de precision !
```

```
esp:0.21272149463528348
sig=111.6695933996675
IC = [0.0,1.6772861227827796]
```

```
esp:1.6077368747910765
sig=984.252509553155
IC = [0.0,5.955784966003614]
```

```
esp:0.3882448040651413
sig=267.24548641993005
IC = [0.0,2.6539127636642563]
```

Observation : pour la valeur $n = 100$ et $T = 5$, la condition pour ne pas être nulle dans l'espérance à chaque étape est très contraignante. En effet, comme la figure (2) le montre, S_t converge rapidement vers 0. Cependant, lorsque la condition de positivité est validée, le caractère exponentielle de S_t fait que la valeur simulée est plutôt grande. Pour ce qui est de $\bar{\sigma}^2$, la valeur est grande car les $ST[i]$ (dans l'algorithme) sont en grande partie nuls, les valeurs de $\bar{\pi}_T$ étant proche de 0, l'écart-type est grand. Ainsi leurs sommes au carré est d'autant plus grande.

1.2.3 prixBarriereMaturite

Soit $N \in \mathbb{N}$, $T > 0$ et $i \in \{1, \dots, N\}$. Soit t_i une discrétisation uniforme de $]0, T]$ t.q : $t_i = i \frac{T}{N}$, $i \in \{1, \dots, N\}$. D'après (3),

$$\forall T \geq 0, \quad \bar{\pi}_T = e^{-rT} \frac{X_T^{(1)} + \dots + X_T^{(n)}}{n} \xrightarrow{n \rightarrow \infty} e^{-rT} \mathbb{E}[(S_T - K)_+ \mathbb{1}_{\{Max_{t \in [0, T]} S_t > B\}}] = \pi_T \quad p.s$$

$$\text{donc } \forall i \in \{1, \dots, n\}, \quad \bar{\pi}_{t_i} = e^{-rt_i} \frac{X_{t_i}^{(1)} + \dots + X_{t_i}^{(n)}}{n} \xrightarrow{n \rightarrow \infty} e^{-rt_i} \mathbb{E}[(S_{t_i} - K)_+ \mathbb{1}_{\{Max_{t \in [0, t_i]} S_t > B\}}] = \pi_{t_i} \quad p.s$$

Ainsi, Pour simuler la liste $\pi_{\frac{T}{N}}, \pi_{2\frac{T}{N}}, \dots, \pi_T$ il suffit de simuler chaque π_{t_i} indépendamment de la valeur de $\pi_{t_{i-1}}$.

Voici le code implémenté pour *prixBarriereMaturite* ainsi que le graphe de $t \rightarrow \pi_t$:

```
1 def prixBarriereMaturite(r,s,S0,K,B,n,T):
2     #on calcul a chaque etape le nouveau prix barriere pour le
3     #temps (i+1)*h independamment des precedents
4     h=T/n
5     pi=np.zeros(n)
6     for i in range(n):
7         A=prixBarriere(r,s,S0,K,B,n,(i+1)*h)
8         pi[i]=A[0] #le premier element de A est le prix barriere
9     return pi
```

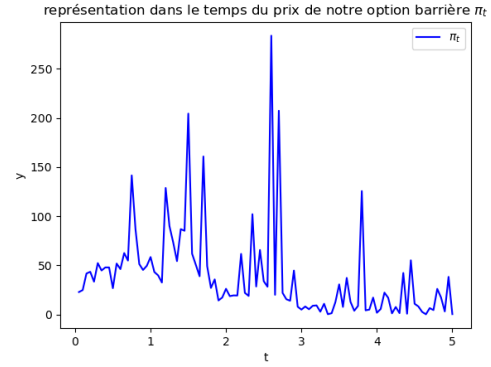
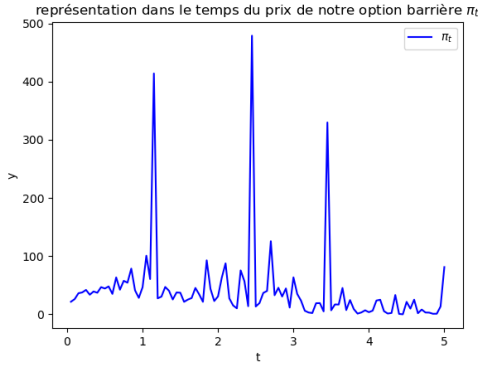


FIGURE 3 – Représentation dans le temps du prix $t \rightarrow \pi_t$ de notre option barrière pour $t \in]0, 5]$.

Observation : Aucune tendance ne semble se dégager.

1.2.4 Réduction de variance

Montrons que $(-W_t)_{t \geq 0}$ est bien un mouvement brownien lorsque $(W_t)_{t \geq 0}$ est un mouvement brownien :

i) Soit $t, s > 0$, $t > s$, on a : $-W_t + W_s = -(W_t - W_s) = -N_{t-s} = N_{t-s}$
Avec $N_{t-s} \sim N(0, t-s)$. En effet, comme W_t est un mouvement brownien, $W_t - W_s \sim N(0, t-s)$ et $\mathbb{V}ar(-(W_t - W_s)) = \mathbb{V}ar(W_t - W_s) = t-s$.

ii) Soit $t, s > r > 0$, on a :

$$\begin{aligned} Cov(-W_t + W_s, W_r) &= -Cov(W_t, W_r) + Cov(W_s, W_r) \\ &= s \wedge r - t \wedge r \\ &= r - r = 0. \end{aligned}$$

Ainsi, $(-W_t)_{t \geq 0}$ est bien un mouvement brownien.

Notons $\varphi(x) = -x$, une fonction qui préserve la loi du mouvement brownien, alors par la méthode de réduction de variance par la variable antithétique appliqué à $h(x) = e^{-rT}(S_T(x) - K)_+ \mathbb{1}_{\{Max_{t \in [0, T]} S_t(x) > B\}}$ et tel que $S_t(x) = S_0 e^{\sigma x + (r - \frac{\sigma^2}{2})t}$, on a :

$$\begin{aligned} \mathbb{E}[h(W_t)] &= \frac{\mathbb{E}[h(W_t)] + \mathbb{E}[h(W_t)]}{2} \\ &= \frac{\mathbb{E}[h(W_t)] + \mathbb{E}[h(\varphi^{-1}(W_t))]}{2} \\ &= \frac{\mathbb{E}[h(W_t)] + \mathbb{E}[h(-W_t)]}{2} \end{aligned}$$

Cette transformation réduit bien la variance. En effet, on a :

$$\begin{aligned} \mathbb{V}ar\left(\frac{h(W_t) + h(-W_t)}{2}\right) &= \frac{1}{4} \left(\mathbb{V}ar(h(W_t)) + \mathbb{V}ar(h(-W_t)) + 2Cov(h(W_t), h(-W_t)) \right) \\ &= \frac{1}{2} \left(2\mathbb{V}ar(h(W_t)) + 2Cov(h(W_t), h(-W_t)) \right) \quad (\text{car } h(W_t) \text{ et } h(-W_t) \text{ ont même loi}) \\ &\stackrel{(Holder)}{\leq} \frac{1}{4} \left(2\mathbb{V}ar(h(W_t)) + 2\sqrt{\mathbb{V}ar(h(W_t))\mathbb{V}ar(h(-W_t))} \right) \\ &\leq \frac{4\mathbb{V}ar(h(W_t))}{4} = \mathbb{V}ar(h(W_t)) \end{aligned}$$

La variance par la méthode de la variable antithétique est théoriquement plus faible que la variance normale.

Objectif : l'objectif de la méthode est de pouvoir utiliser dans les calculs deux fois plus de variable que celles simulées et de pouvoir affiner les calculs et l'intervalle de confiance pour le même nombre de simulation.

Voici le code implémenté de `prixBarriereREDUCTVAR` ainsi que quelques résultat pour π_T , σ^2 et $IC(95)$ pour $n_1 = \frac{n}{2} = 50$.

```

1 def prixBarriereREDUCTVAR(r,s,S0,K,B,n,T):
2     #on commence par simuler un n-echantillon de loi W et l'on calcul
3     #S_t(W_t) et S_t(-W_t) afin de pouvoir faire la reduction de variance
4     piT=0
5     sig2=0
6     ST1=np.zeros(n)
7     S_T1=np.zeros(n)
8     ST2=np.zeros(n)
9     S_T2=np.zeros(n)
10
11     for i in range(n):
12         W=q2a.simulerBrownien(T,n)
13         ST1=simulerStSeed(W,r,s,T,S0) #S_t(W_t)
14         ST2=simulerStSeed(-W,r,s,T,S0) #S_t(-W_t)
15         S_T1[i]=q2bc.simulerXTseed(ST1,r,s,S0,K,B,T) #calcul de X_t pour W_t
16         S_T2[i]=q2bc.simulerXTseed(ST2,r,s,S0,K,B,T) #calcul de X_t pour -W_t
17         piT=piT+(S_T1[i]+S_T2[i])/2 #formule de reduction de variance
18     piT=piT/n
19
20     for i in range(n):
21         sig2=sig2+(((S_T1[i]+S_T2[i])/2)-piT)**2
22     sig2=sig2/(n-1)
23
24     IC=[piT-1.96*np.sqrt(sig2/n),piT+1.96*np.sqrt(sig2/n)]
25     IC[0]=max(0.,IC[0]) #ici aussi l'IC peut etre rogné sans perte de precision
26     return piT,sig2,IC

```

```

1 def simulerStSeed(W,r,s,T,S0):
2     #cette fonction donne la valeur de S_t pour un W_t
3     #bien precis
4     n=len(W)
5     h=T/(n-1)
6     St=np.zeros(n)
7     for i in range(n):
8         St[i]=S0*np.exp(s*W[i]+(r-(s*s/2)*i*h))
9     return St

```

```

esp:0.4503337943991311
sig2=10.140026318895952
IC = [0.0,1.3329880314214284]

```

```

esp:0.6458388287794172
sig2=20.8553896379585
IC = [0.0,1.911682933187076]

```

```

esp:3.556590232649627
sig2=279.836077403871
IC = [0.0,8.193438893010908]

```

Observation : comme observé théoriquement, la variance calculé par la méthode de la variable antithétique est en moyenne moins élevé que la variance observé par la méthode classique.

1.3 Option barrière asiatique

Soit,

$$\bar{\pi}_T = e^{-rT} \mathbb{E} \left[\left(\frac{1}{T} \int_0^T S_u du - K \right)_+ \mathbb{1}_{\{\max_{t \in [0, T]} S_t > B\}} \right]$$

Le prix d'une option barrière asiatique.

Par l'approximation de l'intégrale par la méthode des trapèzes, on trouve, pour $(a_i)_{0 \leq i \leq N_2}$ une discrétisation uniforme de $[0, T]$ t.q $\forall i \in \{0, \dots, N_2\}$, $a_i = ih_2 = i \frac{T}{N_2}$,

$$\begin{aligned} \int_0^T S_u du &= \sum_{i=0}^{N_2-1} \int_{a_i}^{a_{i+1}} S_u du \\ &\approx \sum_{i=0}^{N_2-1} (a_{i+1} - a_i) \frac{S_{a_i} + S_{a_{i+1}}}{2} = h_2 \sum_{i=0}^{N_2-1} \frac{S_{a_i} + S_{a_{i+1}}}{2} \end{aligned}$$

Ainsi, $\forall T \geq 0$,

$$\tilde{\pi}_T^{(N_2)} = e^{-rT} \mathbb{E} \left[\left(\frac{h_2}{T} \sum_{k=0}^{N_2-1} \frac{S_{a_k} + S_{a_{k+1}}}{2} - K \right)_+ \mathbb{1}_{\{\max_{i \in \{0, \dots, N_2\}} S_{a_i} > B\}} \right] \xrightarrow[N_2 \rightarrow \infty]{} e^{-rT} \mathbb{E} \left[\left(\frac{1}{T} \int_0^T S_u du - K \right)_+ \mathbb{1}_{\{\max_{t \in [0, T]} S_t > B\}} \right] = \bar{\pi}_T$$

Mise en place de l'algorithme : On simule N_1 N_2 -échantillon de notre mouvement brownien géométrique afin d'approcher par la loi forte des grands nombres le prix de l'option barrière asiatique pour tout temps $T > 0$.

Remarque 1.5. Comme pour `prixBarriereMaturite`, il n'est pas nécessaire de calculer $\pi_{b_i}^-$ avec $\pi_{b_{i-1}}^-$, $b_i = i \frac{T}{N_3}$, $i \in \{1, \dots, N_3\}$.

Voici le code implémenté pour l'approximation du prix de l'option barrière asiatique à un temps T fixé :

```

1 def int_trapeze(St,T):
2     #calcul par la methode des trapezes l'approximation
3     #de l'integrale de St dans [0,T]
4     N2=np.size(St)
5     h2=T/N2
6     I=0
7     for i in range(N2-1):
8         I=I+(St[i]+St[i+1])
9     I=I*(h2/2)
10    return I
11
12 def XTseed_int(I,St,T,K,B,r):
13     #calcul l'interieur de l'esperance
14     #si la condition du if n'est pas respecter alors Xt=0
15     Xt=0
16     if max((1/T)*I-K,0)!=0 and max(St)>B:
17         Xt=np.exp(-r*T)*((1/T)*I-K)
18     return Xt
19
20 def prixBarriereAsiatique(r,s,S0,K,B,N1,N2,T):
21     #calcul du prix barriere de l'option asiatique pour un temps fixe
22     #par la methode de monte-carlo
23     piT=0
24     for i in range(N1):
25         #a chaque etape on calcul un nouvel St et son integral approche par
26         #la methode des trapezes, puis on calcule Xt
27         St=q2bc.simulerSt(r,s,T,N2,S0)
28         I=int_trapeze(St,T)
29         Xt=XTseed_int(I,St,T,K,B,r)
30         piT=piT+Xt
31     piT=piT/N1
32     return piT

```

Voici le code implémenté pour obtenir $\pi_{b_i}^-$, $i \in \{1, \dots, N_3\}$:

```

1 def prixBarriereAsiatiqueMaturite(r,s,S0,K,B,N1,N2,T,N3):
2     #a chaque etape on calcul \bar{\pi}_{b_i} independamment des valeurs precedentes
3     h=T/N3
4     PB=np.zeros(N3)
5     for i in range(N3):
6         PB[i]=prixBarriereAsiatique(r,s,S0,K,B,N1,N2,(i+1)*h)
7     return PB

```

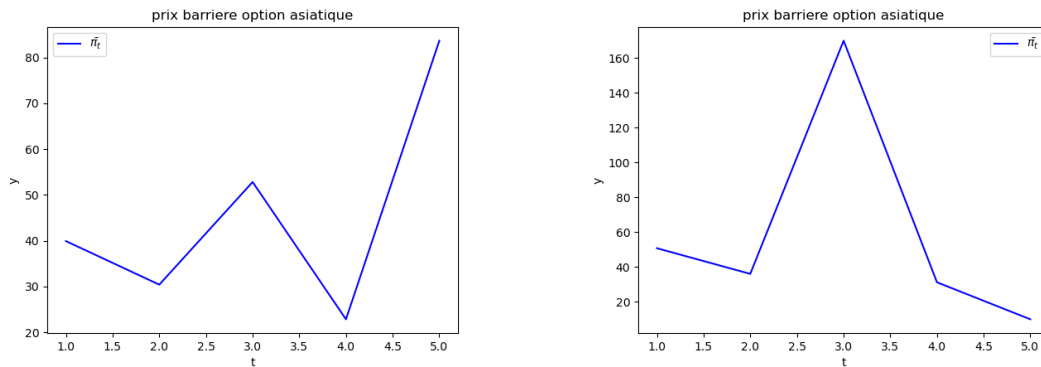


FIGURE 4 – Représentation dans le temps du prix de notre option barrière asiatique π_t avec $T = 5$ et $b_i = i$, $i \in \{1, \dots, 5\}$.

2 EXERCICE 2 : Modèle de Cox, Ross & Rubinstein

2.1 introductions des différentes variables et outils utile

Dans cette section, nous nous efforcerons de définir l'ensemble des variables du modèle de Cox, Ross & Rubinstein :

- S_0 : valeur de l'actif risqué à l'instant 0.
- r : taux d'intérêt sans risque.
- σ : volatilité de l'actif risqué.
- K : prix d'exercice de l'option européenne.
- N : le nombre de période.
- T : le temps qui sépare la date de signature du contrat et la date d'exercice du Call exprimé en année (ici $T = 1$).
- u : scalaire qui caractérise un mouvement vers le haut de l'actif risqué de volatilité σ ,

$$u = e^{\sigma\sqrt{\Delta t}}, \Delta t = \frac{T}{N}$$

- d : scalaire qui caractérise un mouvement vers le bas de l'actif risqué de volatilité σ ,

$$d = e^{-\sigma\sqrt{\Delta t}}$$

- $(S_n^{(0)})_{n \in \llbracket 0, N \rrbracket}$: l'actif sans risque de rendement certain r sur une période,

$$S_n^{(0)} = (1 + r)^n, \forall n \in \llbracket 0, N \rrbracket$$

- S : l'actif risqué de prix S_n à l'instant $n \in \llbracket 0, N \rrbracket$,

$$S_n = \begin{cases} uS_{n-1} & \text{, si l'actif est monté} \\ dS_{n-1} & \text{, si l'actif est descendu} \end{cases}$$

- $T_n = \frac{S_n}{S_{n-1}}$, $n \in \llbracket 1, N \rrbracket$: la variable aléatoire i.i.d qui décrit si l'actif risqué est monté ou descendu,

$$\mathbb{P}(T_n = u) = p = 1 - \mathbb{P}(T_n = d), \forall n \in \llbracket 0, N \rrbracket$$

- C_n (resp. P_n) : la valeur à l'instant $n \in \llbracket 0, N \rrbracket$ d'un Call (resp. Put) européen sur unité d'actif risqué au prix d'exercice K et d'échéance N , la relation Call-Put nous donne :

$$C_n - P_n = S_n - K(1 + r)^{-(N-n)}, \forall n \in \llbracket 0, N \rrbracket \quad (4)$$

- $H_n^{(0)}$: la quantité d'actifs non risqués à détenir à l'instant n pour avoir la couverture appropriée pour le Call.
- H_n : la quantité d'actifs risqués à détenir à l'instant n pour avoir la couverture appropriée pour le Call.
- $J_n^{(0)}$: la quantité d'actifs non risqués à détenir à l'instant n pour avoir la couverture appropriée pour le Put.
- J_n : la quantité d'actifs risqués à détenir à l'instant n pour avoir la couverture appropriée pour le Put.

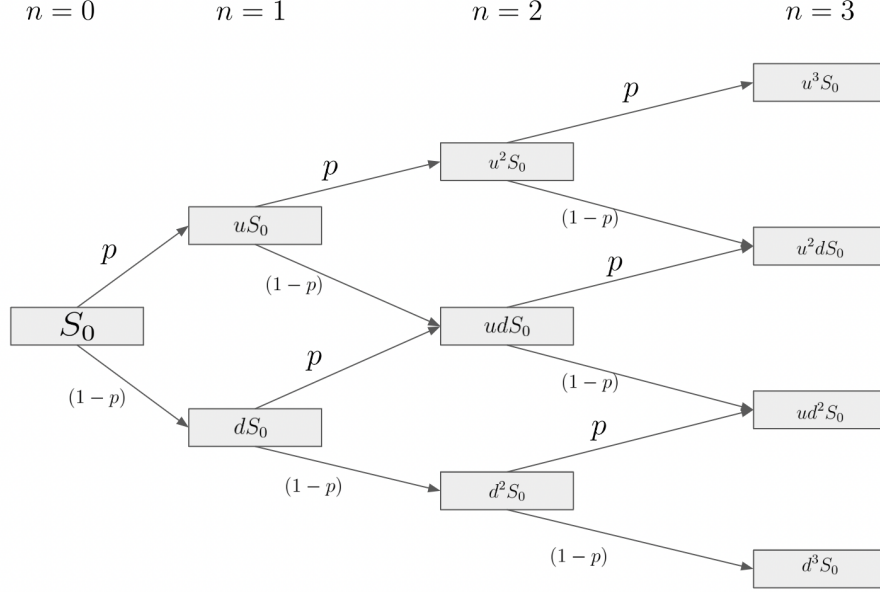


FIGURE 5 – Arbre représentant l'évolution de notre actif risqué pour les périodes 0, 1, 2 et 3 par la méthode de Cox, Ross & Rubinstein.

2.2 Le modèle

Le modèle de Cox, Ross & Rubinstein (CRR) est un modèle discret pour l'évaluation et la dynamique de sous-jacent. Ce modèle, aussi appelé "modèle binomial" peut se représenter à l'aide d'un arbre de probabilité (c.f (5)). Ce modèle est une version discrétisée du modèle de Black-Scholes qui suppose qu'à chaque instant, l'actif risqué S_n monte (resp. descend) avec une probabilité p (resp. $(1-p)$) par un facteur u (resp. d). À chaque instant, la probabilité de monter ou de descendre est supposée être la même et indépendante des précédentes variations du prix de l'actif. De plus, le modèle de CRR suppose que le produit d'un mouvement vers le haut par un mouvement vers le bas est 1. En effet, si le prix augmente puis baisse (ou baisse puis augmente), alors il retourne à son état initial ce qui nous donne $u \times d = 1$.

Dans la suite de cette partie nous allons déterminer la probabilité qu'à l'actif de monter ou descendre, la fonction qui caractérise la valeur d'un Call européen sur une unité d'actif risqué puis la quantité d'actifs risqués et non-risqués à détenir afin d'avoir la couverture appropriée.

2.2.1 probabilité qu'à l'actif de monter ou descendre et viabilité du marché.

i) Montrons que \tilde{S}_n est une $(\mathbb{P}, \mathcal{F}_n)$ -martingale ssi $\mathbb{E}[T_{n+1}|\mathcal{F}_n] = 1 + r$.

Soit, $\tilde{S}_n = \frac{S_n}{(1+r)^n}$, \tilde{S}_n est une $(\mathbb{P}, \mathcal{F}_n)$ -martingale ssi $\mathbb{E}\left[\tilde{S}_{n+1}|\mathcal{F}_n\right] = \tilde{S}_n$, ainsi on veut :

$$\begin{aligned}
 & \mathbb{E}\left[\frac{\tilde{S}_{n+1}}{\tilde{S}_n}|\mathcal{F}_n\right] = 1 \\
 \Leftrightarrow & \mathbb{E}\left[\frac{S_{n+1}}{S_n} \frac{1}{1+r}|\mathcal{F}_n\right] = 1 \\
 \Leftrightarrow & \mathbb{E}\left[\frac{T_{n+1}}{1+r}|\mathcal{F}_n\right] = 1 \\
 \Leftrightarrow & \mathbb{E}\left[T_{n+1}|\mathcal{F}_n\right] = 1 + r
 \end{aligned}$$

ii) Montrons que le marché est viable si $d < 1 + r < u$

Le marché est viable ssi il existe une proba risque neutre \mathbb{P}^* tq $(\tilde{S}_n)_{n \in \llbracket 0, N \rrbracket}$ est une \mathbb{P}^* -martingale.
On a \tilde{S}_n une martingale ssi $\mathbb{E}[T_{n+1}] = 1 + r$, $\forall n \in \llbracket 0, N \rrbracket$.
En particulier, on a $\mathbb{E}^*[T_{n+1}] = 1 + r$ avec $\mathbb{E}^*[T_{n+1}] = u\mathbb{P}^*(T_{n+1} = u) + d\mathbb{P}^*(T_{n+1} = d)$.
Donc \tilde{S}_n est un martingale si :

$$\begin{aligned} 1 + r &< u[\mathbb{P}^*(T_{n+1} = u) + \mathbb{P}^*(T_{n+1} = d)] \\ 1 + r &> d[\mathbb{P}^*(T_{n+1} = u) + \mathbb{P}^*(T_{n+1} = d)] \end{aligned}$$

Le marché est donc viable pour $u > 1 + r > d$.

iii) Determinons p , la probabilité que l'actif risqué monte.

Afin de déterminer p , Nous allons montrer :

\tilde{S}_n est une $(\mathbb{P}, \mathcal{F}_n)$ -martingale \Leftrightarrow Les $(T_i)_{1 \leq i \leq N}$ sont i.i.d et $\mathbb{P}(T_i = u) = p = 1 - \mathbb{P}(T_i = d)$

\Rightarrow : Soit \tilde{S}_n une $(\mathbb{P}, \mathcal{F}_n)$ -martingale, on sait que $\forall n \in \llbracket 0, N - 1 \rrbracket$:

$$\begin{aligned} \mathbb{E}[S_{n+1} | \mathcal{F}_n] = \tilde{S}_n &\Leftrightarrow \mathbb{E}[T_{n+1} | \mathcal{F}_n] = 1 + r \\ \text{Et, } \mathbb{E}[\mathbb{1}_{\{T_{n+1}=u\}} | \mathcal{F}_n] + \mathbb{E}[\mathbb{1}_{\{T_{n+1}=d\}} | \mathcal{F}_n] &= 1 \end{aligned}$$

On a donc :

$$\begin{aligned} \mathbb{E}[T_{n+1} | \mathcal{F}_n] = 1 + r &\Leftrightarrow u\mathbb{E}[\mathbb{1}_{\{T_{n+1}=u\}} | \mathcal{F}_n] + d\mathbb{E}[\mathbb{1}_{\{T_{n+1}=d\}} | \mathcal{F}_n] \\ &\Leftrightarrow u\alpha_n + d\beta_n = 1 + r \text{ avec } \alpha_n + \beta_n = 1 \end{aligned}$$

Ainsi on a le systeme suivant,

$$\begin{cases} u\alpha_n + d\beta_n = 1 + r \\ \alpha_n + \beta_n = 1 \end{cases} \Leftrightarrow \begin{cases} u\alpha_n + d(1 - \alpha_n) = 1 + r \\ \beta_n = 1 - \alpha_n \end{cases} \Leftrightarrow \begin{cases} \alpha_n = \frac{1 + r - d}{u - d} \\ \beta_n = 1 - \alpha_n \end{cases}$$

De plus, par propriété de l'espérance conditionnelle, on a $\mathbb{E}[\mathbb{E}[X | \mathcal{G}]] = \mathbb{E}[X]$. Donc, pour $X = \mathbb{1}_{\{T_{n+1}=u\}}$ et $\mathcal{G} = \mathcal{F}_n$, on trouve :

$$\begin{aligned} \mathbb{P}(T_{n+1} = u) = \mathbb{E}[\alpha_n] &= p = \frac{1 + r - d}{u - d} \\ \text{Et, } \mathbb{P}(T_{n+1} = d) = \mathbb{E}[\beta_n] &= \mathbb{E}[1 - \alpha_n] = 1 - p = \frac{u - 1 - r}{u - d} \end{aligned}$$

Les T_i sont donc identiquement distribuée. L'indépendance viens du fait que $\mathbb{E}[T_{n+1} | \mathcal{F}_n] = \mathbb{E}[T_{n+1}]$, $\forall n \in \llbracket 0, N - 1 \rrbracket$.

\Leftarrow : Supposons que les T_i soit i.i.d, on a $\forall n \in \llbracket 0, N - 1 \rrbracket$:

$$\begin{aligned} \mathbb{E}[T_{n+1} | \mathcal{F}_n] &= \mathbb{E}[T_{n+1}] \quad (\text{Par i.i.d des } T_i) \\ &= u\mathbb{P}(T_{n+1} = u) + d\mathbb{P}(T_{n+1} = d) \\ &= up + d(1 - p) \\ &= 1 + r \end{aligned}$$

D'après i), ceci montre que \tilde{S}_n est une $(\mathbb{P}, \mathcal{F}_n)$ -martingale.

Proposition 2.1. *Le modèle de CRR est un modèle viable et complet*

Démonstration. Le marché est viable par ii). Il est complet si il existe une unique probabilité risque neutre, l'existence viens de la viabilité du marché et est satisfaite pour $d < 1 + r < u$, l'unicité viens du fait que les T_i soient i.i.d. \square

iv) Determinons la fonction qui caractérise le prix d'un Call européen.

Soit $C_n = \mathbb{E}^* \left[\frac{(S_N - K)_+}{(1+r)^{N-n}} | \mathcal{F}_n \right]$, avec \mathbb{P}^* (un probabilité equivalente à \mathbb{P}) la probabilité sous laquelle l'actifs risqué réactualisé $(\tilde{S}_n)_{n \in \llbracket 0, N \rrbracket}$ est une martingale. On a :

$$\begin{aligned} C_n &= \mathbb{E}^* \left[\frac{(S_N - K)_+}{(1+r)^{N-n}} | \mathcal{F}_n \right] \\ (1+r)^{N-n} C_n &= \mathbb{E}^* \left[(S_N - K)_+ | \mathcal{F}_n \right] \end{aligned}$$

Avec, $S_N = S_n \times \frac{S_{n+1}}{S_n} \times \dots \times \frac{S_N}{S_{N-1}} = S_n \prod_{i=n+1}^N T_i$.

Notons $Z_{n+1} = \prod_{i=n+1}^N T_i$, on a, $Z_{n+1} \perp \mathcal{F}_n$ et S_n est \mathcal{F}_n -mesurable. Ainsi,

$$(1+r)^{N-n} C_n = \mathbb{E}^* \left[\left(S_n \left(\prod_{i=n+1}^N T_i \right) - K \right)_+ | \mathcal{F}_n \right] = \mathbb{E}^* \left[(S_n Z_{n+1} - K)_+ \right]$$

Ainsi on trouve :

$$C_n = c(n, S_n) = \frac{1}{(1+r)^{N-n}} \mathbb{E}^* \left[(S_n \left(\prod_{i=n+1}^N T_i \right) - K)_+ \right] \quad (5)$$

De plus, on a :

$$\begin{aligned} (1+r)^{N-n} c(n, x) &= \mathbb{E}^* \left[\left(x \left(\prod_{i=n+1}^N T_i \right) - K \right)_+ \right] \\ &= \sum_{(t_{n+1}, \dots, t_N) \in \{u, d\}^{(N-n)}} (x t_{n+1} \times \dots \times t_N - K)_+ \mathbb{P}^*(T_{n+1} = t_{n+1}, \dots, T_N = t_N) \\ &= \sum_{(t_{n+1}, \dots, t_N) \in \{u, d\}^{(N-n)}} (x t_{n+1} \times \dots \times t_N - K)_+ \mathbb{P}^*(T_{n+1} = t_{n+1}) \times \dots \times \mathbb{P}^*(T_N = t_N) \\ &= \sum_{(t_0, \dots, t_{N-n}) \in \{u, d\}^{(N-n)}} (x t_1 \times \dots \times t_{N-n} - K)_+ \left(\prod_{i=1}^{N-n} \mathbb{P}^*(T_1 = t_i) \right) \\ &= \sum_{k=0}^{N-n} \binom{N-n}{k} (x u^k d^{N-n-k} - K)_+ \mathbb{P}^*(T_1 = u)^k \mathbb{P}^*(T_1 = d)^{N-n-k} \\ &= \sum_{k=0}^{N-n} \binom{N-n}{k} (x u^k d^{N-n-k} - K)_+ p^k (1-p)^{N-n-k} \end{aligned}$$

Ici $k \in \llbracket 0, N-n \rrbracket$ car "il existe un chemin qui ne fait que descendre", cela se caractérise par $k = 0$. Ainsi,

$$C_n = c(n, S_n) = \frac{1}{(1+r)^{N-n}} \sum_{k=0}^{N-n} \binom{N-n}{k} (S_n u^k d^{N-n-k} - K)_+ p^k (1-p)^{N-n-k} \quad (6)$$

Or, pour n fixé, $(S_n u^k d^{N-n-k} - K)_+$ est une valeur qui ne dépend plus que de k , on cherche donc le plus petit k tq :

$$\begin{aligned}
& S_n u^k d^{N-n-k} - K > 0 \\
\Leftrightarrow & S_n u^k d^{N-n-k} > K \\
\Leftrightarrow & \ln(S_n u^k d^{N-n-k}) > \ln(K) \\
\Leftrightarrow & \ln(S_n) + k \ln(u) + (N-n-k) \ln(d) > \ln(K) \\
\Leftrightarrow & k(\ln(u) - \ln(d)) > \ln(K) - \ln(S_n) - (N-n) \ln(d) \\
\Leftrightarrow & k \ln\left(\frac{u}{d}\right) > \ln\left(\frac{K}{S_n d^{N-n}}\right) \\
\Leftrightarrow & k > \frac{\ln\left(\frac{K}{S_n d^{N-n}}\right)}{\ln\left(\frac{u}{d}\right)}
\end{aligned}$$

On a donc trouver l'itéré initial \tilde{k} tel que $\forall k \in [\tilde{k}, N-n]$, $S_n u^k d^{N-n-k} - K > 0$. Ainsi on trouve une nouvelle formule pour le calcul du prix du Call :

$$C_n = c(n, S_n) = \frac{1}{(1+r)^{N-n}} \sum_{k=\tilde{k}}^{N-n} \binom{N-n}{k} (S_n u^k d^{N-n-k} - K) p^k (1-p)^{N-n-k}$$

$$\text{avec } \tilde{k} = \inf \left\{ k \in \mathbb{N}, k > \frac{\ln\left(\frac{K}{S_n d^{N-n}}\right)}{\ln\left(\frac{u}{d}\right)} \right\}$$

Donc,

$$C_n = S_n \sum_{k=\tilde{k}}^{N-n} \binom{N-n}{k} \left(\frac{pu}{1+r}\right)^k \left(\frac{(1-p)d}{1+r}\right)^{N-n-k} - \frac{K}{(1+r)^{N-n}} \sum_{k=\tilde{k}}^{N-n} \binom{N-n}{k} p^k (1-p)^{N-n-k} \quad (7)$$

Et par la relation Call-Put (4), on trouve une formule pour le prix du Put à l'instant n :

$$P_n = p(n, S_n) = c(n, S_n) - S_n + \frac{K}{(1+r)^{N-n}}, \quad \forall n \in [0, N] \quad (8)$$

v) Déterminons la quantité d'actifs risqués H_n et non risqué $H_n^{(0)}$ à détenir à l'instant n afin d'avoir la couverture appropriée dans le cas du Put et du Call.

Le modèle de CRR étant un modèle complet et viable (par la proposition (2.1)) , il existe une stratégie d'auto-financement qui garantie une couverture appropriée. Cette possibilité d'arbitrage nous donne à chaque instant la relation :

$$H_n^{(0)} S_n^{(0)} + H_n S_n = c(n, S_n), \text{ avec } S_n^{(0)} = (1+r)^n \text{ et } n \in [1, N] \quad (9)$$

C'est à dire qu'à chaque instant, le prix du Call peut être amorti par l'achat de H_n actif risqué et de $H_n^{(0)}$ actif non-risqué.

Ainsi pour $S_n = uS_{n-1}$ et $S_n = dS_{n-1}$, on a :

$$\begin{aligned}
& \begin{cases} H_n^{(0)}(1+r)^n + H_n dS_{n-1} = c(n, dS_{n-1}) , \text{ si l'actif est descendu} \\ H_n^{(0)}(1+r)^n + H_n uS_{n-1} = c(n, uS_{n-1}) , \text{ si l'actif est monté} \end{cases} \\
\Leftrightarrow & \begin{cases} H_n dS_{n-1} - H_n uS_{n-1} = c(n, dS_{n-1}) - c(n, uS_{n-1}) \\ H_n^{(0)}(1+r)^n + H_n uS_{n-1} = c(n, uS_{n-1}) \end{cases} \\
\Leftrightarrow & \begin{cases} H_n (d-u)S_{n-1} = c(n, dS_{n-1}) - c(n, uS_{n-1}) \\ H_n^{(0)}(1+r)^n + H_n uS_{n-1} = c(n, uS_{n-1}) \end{cases}
\end{aligned}$$

$$\begin{aligned}
&\Leftrightarrow \begin{cases} H_n = \frac{c(n, dS_{n-1}) - c(n, uS_{n-1})}{(d-u)S_{n-1}} \\ H_n^{(0)}(1+r)^n + H_n u S_{n-1} = c(n, uS_{n-1}) \end{cases} \\
&\Leftrightarrow \begin{cases} H_n = \frac{c(n, dS_{n-1}) - c(n, uS_{n-1})}{(d-u)S_{n-1}} \\ H_n^{(0)} = \frac{c(n, uS_{n-1})}{(1+r)^n} - \frac{H_n u S_{n-1}}{(1+r)^n} \end{cases} \\
&\Leftrightarrow \begin{cases} H_n = \frac{c(n, dS_{n-1}) - c(n, uS_{n-1})}{(d-u)S_{n-1}} \\ H_n^{(0)} = \frac{c(n, uS_{n-1})}{(1+r)^n} - \frac{u}{d-u} \times \frac{c(n, dS_{n-1}) - c(n, uS_{n-1})}{(1+r)^n} \end{cases} \\
&\Leftrightarrow \begin{cases} H_n = \frac{c(n, dS_{n-1}) - c(n, uS_{n-1})}{(d-u)S_{n-1}} \\ H_n^{(0)} = \frac{(d-u)c(n, uS_{n-1}) - u(c(n, dS_{n-1}) - c(n, uS_{n-1}))}{(d-u)(1+r)^n} \end{cases} \\
&\Leftrightarrow \begin{cases} H_n = \frac{c(n, dS_{n-1}) - c(n, uS_{n-1})}{(d-u)S_{n-1}} \\ H_n^{(0)} = \frac{dc(n, uS_{n-1}) - uc(n, dS_{n-1})}{(d-u)(1+r)^n} \end{cases}
\end{aligned}$$

À l'instant n , H_n (resp. $H_n^{(0)}$) nous donne la quantité d'actifs risqués (resp. non-risqués) à détenir afin d'avoir la couverture appropriée pour le Call.

De plus, la relation (9) étant vrai pour toute option, elle l'est également pour le Put européen, on a donc les relations :

$$\text{Dans le cas du Call : } \begin{cases} H_n = \frac{c(n, dS_{n-1}) - c(n, uS_{n-1})}{(d-u)S_{n-1}} \\ H_n^{(0)} = \frac{dc(n, uS_{n-1}) - uc(n, dS_{n-1})}{(d-u)(1+r)^n} \end{cases} \quad (10)$$

$$\text{Dans le cas du Put : } \begin{cases} J_n = \frac{p(n, dS_{n-1}) - p(n, uS_{n-1})}{(d-u)S_{n-1}} = H_n - 1 \\ J_n^{(0)} = \frac{dp(n, uS_{n-1}) - up(n, dS_{n-1})}{(d-u)(1+r)^n} = H_n^{(0)} + \frac{K}{(1+r)^N} \end{cases} \quad (11)$$

Voici les codes implémentés pour la mise en place de notre pricer d'option simple.

```

1 def pos(a,b):
2     return max(a-b,0)
3
4 def binom(n,k):
5     #retourne le coefficient binomial de k parmi n
6     return math.factorial(n)/(math.factorial(n-k)*math.factorial(k))
7
8 def Value_Call(N,n,r,p,u,d,Sn,K):
9     #donne la valeur d'un Call de prix d'exercice K et d'echecance T=1 a l'instant n
10    Cn=0
11    for k in range(N-n+1):
12        Cn=Cn+binom(N-n,k)*pos(Sn*math.pow(u,k)*math.pow(d,N-n-k),K)*math.pow(p,k)*math.
13        pow(1-p,N-n-k)
14    return Cn/math.pow(1+r,N-n)

```

```

1 def Value_Put(Cn,K,N,r,n,Sn):
2     #donne la valeur d'un Put a l'instant n par la relation Call-Put
3     return Cn-Sn+K/math.pow(1+r,N-n)
4
5 def qteActifs(N,n,r,p,u,d,Sn_1,K):
6     #fonction qui donne la quantite d'actif risque et non risque a detenir a l'instant n
7     #afin d'avoir la couverture appropriee
8     # Hn : la qte d'actif risque pour le Call
9     # H0 : la qte d'actif non-risque pour le Call
10    # Jn : la qte d'actif risque pour le Put
11    # J0 : la qte d'actif non-risque pour le Put
12    C_u=Value_Call(N,n,r,p,u,d,u*Sn_1,K)
13    C_d=Value_Call(N,n,r,p,u,d,d*Sn_1,K)
14    A=math.pow(1+r,n)
15    Hn=(C_d-C_u)/((d-u)*Sn_1)
16    H0=(d*C_u-u*C_d)/((d-u)*A)
17    Jn=Hn-1
18    J0=H0+K/math.pow(1+r,N)
19    return Hn, H0, Jn, J0

```

Voici le code implémenté pour le pricer d'option simple,

```

1 def pricerOption(S_0,r,s,K,N):
2     # Cette fonction est un pricer d'option (Call et Put europeen)
3     # qui donne aussi a chaque etape la quantitee d'actifs risque et non-risque
4     # a detenir afin de fournir la couverture appropriee
5
6     #Ce pricer d'option n'evalue qu'un seul chemin qui est "tire" au hasard.
7
8     #C_n : vecteur qui contient le prix du Call europeen c(n,S_n) a chaque instant
9     #P_n : vecteur qui contient le prix du Put a chaque instant
10    #Sn : vecteur qui contient la valeur de l'option a chaque instant
11    #UD : vecteur de taille N qui contient l'information pour si S_n est monte ou
12    #descendu
13    # UD[i]=1 => S_n[i+1]=u*S_n[i] , i \in [0,N-1]
14
15    # H_n : la qte d'actif risque pour le Call
16    # H0 : la qte d'actif non-risque pour le Call
17    # J_n : la qte d'actif risque pour le Put
18    # J0 : la qte d'actif non-risque pour le Put
19
20    dt=1/N
21    u=np.exp(s*np.sqrt(dt))
22    d=np.exp(-s*np.sqrt(dt))
23    p=(1+r-d)/(u-d)
24
25    UD=np.zeros(N)
26    C_n=np.zeros(N)
27    P_n=np.zeros(N)
28    Sn=np.zeros(N+1)
29    H_n=np.zeros(N)
30    H0=np.zeros(N)
31    J_n=np.zeros(N)
32    J0=np.zeros(N)
33    Sn[0]=S_0
34
35    for i in range(N):
36        if rnd.rand()<p:
37            Sn[i+1]=u*Sn[i]
38            UD[i]=1
39        else :
40            Sn[i+1]=d*Sn[i]
41            UD[i]=-1
42
43        C_n[i]=Value_Call(N,i+1,r,p,u,d,Sn[i+1],K)
44        P_n[i]=Value_Put(C_n[i],K,N,r,i+1,Sn[i+1])
45        A,B,C,D=qteActifs(N,i+1,r,p,u,d,Sn[i],K)
46        H_n[i]=A
47        H0[i]=B
48        J_n[i]=C
49        J0[i]=D
50
51    return Sn,C_n,P_n,H_n,H0,J_n,J0,UD,p,u,d

```


Ce pricer d'option simple évalue la valeur du Call, du Put ainsi que les quantités d'actifs risqués et non-risqués à détenir à chaque instant que pour un seul chemin de l'arbre qui est tiré au hasard.

Voici un exemple d'exécution d'un script qui crée un fichier texte afin de ranger de façon ordonnée les différentes valeurs du Call, du Put et des différentes quantités d'actifs risqués et non-risqués à détenir afin d'avoir la couverture appropriée.

```
Fichier qui contient l'évolution à chaque instant des différentes valeurs du Call,
du Put, de la quantité d'actifs risqués et non risqués à détenir et
qui décrit aussi l'état de l'actif risqué (s'il est monté ou descendu).

s=3.30
r=2.50
K=20.00
S0=100.00
N=4.00

p=0.66
u=5.21
1+r=3.5
d=0.19

S_n : valeur à l'instant i de l'actif risqué
C_n : valeur à l'instant i du Call Européen
P_n : valeur à l'instant i du Put Européen
H0 : la quantité d'actifs non risqués à détenir à l'instant i pour avoir la couverture appropriée dans le cas d'un Call
H_n : la quantité d'actifs risqués à détenir à l'instant i pour avoir la couverture appropriée dans le cas d'un Call
J0 : la quantité d'actifs non risqués à détenir à l'instant i pour avoir la couverture appropriée dans le cas d'un Put
J_n : la quantité d'actifs risqués à détenir à l'instant i pour avoir la couverture appropriée dans le cas d'un Put

i | S_n | C_n | P_n | H0 | H_n | J0 | J_n
1 | S_0*u^0*d^1=19.20 | 18.84 | 0.11 | -0.10 | 1.00 | 0.03 | -0.00
2 | S_0*u^0*d^2=3.69 | 2.84 | 0.79 | -0.07 | 0.99 | 0.07 | -0.01
3 | S_0*u^1*d^2=19.20 | 15.08 | 1.59 | -0.01 | 0.82 | 0.12 | -0.18
4 | S_0*u^2*d^2=100.00 | 80.00 | 0.00 | -0.02 | 0.83 | 0.11 | -0.17
```

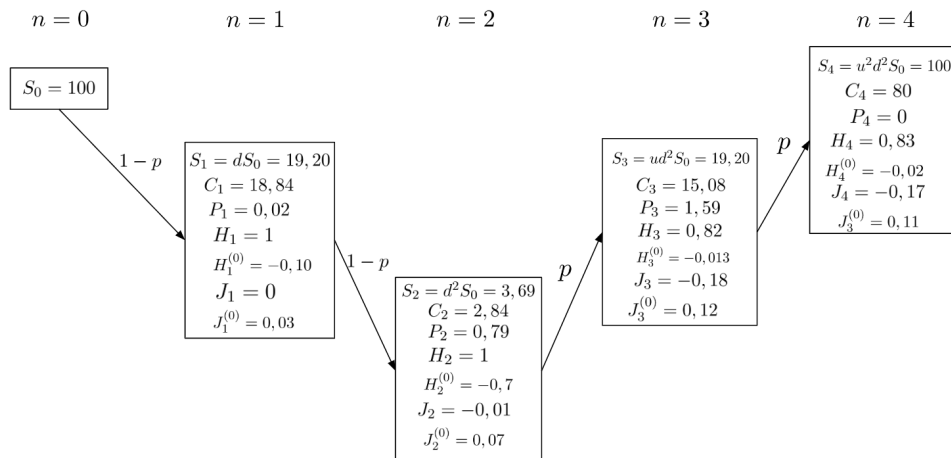


FIGURE 6 – exemple d'exécution du code pour $N = 4$, $S_0 = 100$, $\sigma = 3,3$, $r = 2,5$ et $K = 20$ ainsi qu'une représentation graphique à l'aide d'un arbre de probabilité des résultats obtenue.

Commentaire : À la date d'exercice du Call européen, l'actif risqué $S = 100$, le Call $C = 80$ et le Put $P = 0$. Les valeurs de H et $H^{(0)}$ nous donne la stratégie suivante : à la date d'exercice du Call, on achète 0,83 actifs risqués et on vend 0,02 actifs non-risqués afin de compenser l'exercice du Call. De plus, les valeurs de J et $J^{(0)}$ nous donne la stratégie suivante : à la date d'exercice du Put, on vend 0,17 actifs risqués et on achète 0,11 actifs non-risqués.

Voici deux autres exécution de notre fonction *pricerOption* pour différentes valeurs numériques :

```
Fichier qui contient l'évolution à chaque instant des différentes valeurs du Call,
du Put, de la quantité d'actifs risqués et non risqués à détenir et
qui décrit aussi l'état de l'actif risqué (s'il est monté ou descendu).

s=3.30
r=0.89
K=20.00
S0=55.00
N=13.00

p=0.71
u=2.50
1+r=1.8900000000000001
d=0.40

S_n : valeur à l'instant i de l'actif risqué
C_n : valeur à l'instant i du Call Européen
P_n : valeur à l'instant i du Put Européen
H0 : la quantité d'actifs non risqués à détenir à l'instant i pour avoir la couverture appropriée dans le cas d'un Call
H_n : la quantité d'actifs risqués à détenir à l'instant i pour avoir la couverture appropriée dans le cas d'un Call
J0 : la quantité d'actifs non risqués à détenir à l'instant i pour avoir la couverture appropriée dans le cas d'un Put
J_n : la quantité d'actifs risqués à détenir à l'instant i pour avoir la couverture appropriée dans le cas d'un Put

i | S_n | C_n | P_n | H0 | H_n | J0 | J_n
1 | S_0*u^1*d^0=137.36 | 137.35 | 0.00 | -0.00 | 1.00 | 0.00 | -0.00
2 | S_0*u^1*d^1=55.00 | 54.98 | 0.00 | -0.01 | 1.00 | 0.00 | -0.00
3 | S_0*u^2*d^1=137.36 | 137.32 | 0.00 | -0.00 | 1.00 | 0.00 | -0.00
4 | S_0*u^3*d^1=343.04 | 342.97 | 0.00 | -0.00 | 1.00 | 0.00 | -0.00
5 | S_0*u^4*d^1=856.71 | 856.59 | 0.00 | -0.01 | 1.00 | 0.00 | -0.00
6 | S_0*u^4*d^2=343.04 | 342.81 | 0.00 | -0.01 | 1.00 | 0.00 | -0.00
7 | S_0*u^4*d^3=137.36 | 136.92 | 0.00 | -0.01 | 1.00 | 0.00 | -0.00
8 | S_0*u^4*d^4=55.00 | 54.19 | 0.02 | -0.00 | 1.00 | 0.00 | -0.00
9 | S_0*u^5*d^4=137.36 | 135.80 | 0.01 | -0.00 | 1.00 | 0.00 | -0.00
10 | S_0*u^6*d^4=343.04 | 340.08 | -0.00 | -0.00 | 1.00 | 0.00 | -0.00
11 | S_0*u^6*d^5=137.36 | 131.76 | -0.00 | -0.01 | 1.00 | 0.00 | 0.00
12 | S_0*u^7*d^5=343.04 | 332.46 | -0.00 | -0.01 | 1.00 | 0.00 | -0.00
13 | S_0*u^8*d^5=856.71 | 836.71 | 0.00 | -0.01 | 1.00 | 0.00 | 0.00
```

```
Fichier qui contient l'évolution à chaque instant des différentes valeurs du Call,
du Put, de la quantité d'actifs risqués et non risqués à détenir et
qui décrit aussi l'état de l'actif risqué (s'il est monté ou descendu).

s=4.40
r=0.95
K=66.00
S0=86.00
N=10.00

p=0.45
u=4.02
1+r=1.95
d=0.25

S_n : valeur à l'instant i de l'actif risqué
C_n : valeur à l'instant i du Call Européen
P_n : valeur à l'instant i du Put Européen
H0 : la quantité d'actifs non risqués à détenir à l'instant i pour avoir la couverture appropriée dans le cas d'un Call
H_n : la quantité d'actifs risqués à détenir à l'instant i pour avoir la couverture appropriée dans le cas d'un Call
J0 : la quantité d'actifs non risqués à détenir à l'instant i pour avoir la couverture appropriée dans le cas d'un Put
J_n : la quantité d'actifs risqués à détenir à l'instant i pour avoir la couverture appropriée dans le cas d'un Put

i | S_n | C_n | P_n | H0 | H_n | J0 | J_n
1 | S_0*u^0*d^1=21.39 | 21.33 | 0.10 | -0.03 | 1.00 | 0.05 | -0.00
2 | S_0*u^1*d^1=86.00 | 85.83 | 0.14 | -0.02 | 1.00 | 0.06 | -0.00
3 | S_0*u^1*d^2=21.39 | 21.13 | 0.36 | -0.03 | 1.00 | 0.05 | -0.00
4 | S_0*u^1*d^3=5.32 | 4.98 | 0.86 | -0.02 | 1.00 | 0.06 | -0.00
5 | S_0*u^1*d^4=1.32 | 0.96 | 1.97 | -0.01 | 0.97 | 0.07 | -0.03
6 | S_0*u^1*d^5=0.33 | 0.06 | 4.29 | -0.00 | 0.80 | 0.08 | -0.20
7 | S_0*u^1*d^6=0.08 | 0.00 | 8.82 | -0.00 | 0.20 | 0.08 | -0.80
8 | S_0*u^1*d^7=0.02 | 0.00 | 17.34 | -0.00 | -0.00 | 0.08 | -1.00
9 | S_0*u^1*d^8=0.01 | 0.00 | 33.84 | -0.00 | -0.00 | 0.08 | -1.00
10 | S_0*u^2*d^8=0.02 | 0.00 | 65.98 | -0.00 | -0.00 | 0.08 | -1.00
```

3 EXERCICE 3

3.1 Question 1 :

Soit X la v.a qui désigne le nombre de vélos loués par un vendeur un jour donné, par l'énoncé, on a : $X \in L^2(\Omega, \mathbb{P})$ avec $\Omega = \{0, 1, 2, 3, 4\}$ et est de loi :

$$\begin{cases} \mathbb{P}(X = 0) = 0.1 \\ \mathbb{P}(X = 1) = 0.15 \\ \mathbb{P}(X = 2) = 0.3 \\ \mathbb{P}(X = 3) = 0.25 \\ \mathbb{P}(X = 4) = 0.2 \end{cases} \quad (12)$$

Si on note s le nombre de vélos présents en stock le matin à l'ouverture et X la v.a qui caractérise le nombre de vélos loués dans la journée, la fonction profit noté $P_s(X)$ est solution de profits=recettes-coûts, et se définit par

$$P_s(X) = 130X \cdot \mathbb{1}_{\{X \leq s\}} - (20s + 30X \cdot \mathbb{1}_{\{X \leq s\}}) \quad (13)$$

$$= 100X \cdot \mathbb{1}_{\{X \leq s\}} - 20s \quad (14)$$

Hypothèse : Pour calculer le profit je suppose que si j'ai un stock de $s = 2$ vélos et que $X > 2$ alors le loueur ne loue en fait pas les X vélos et essuie donc une perte de $20 \times s$, je suppose donc que le loueur ne peut pas louer plus de vélos que de vélos présents en stock. Ainsi, pour $s = 1$, on a :

$$\begin{cases} P_1(0) = -20 \\ P_1(1) = 80 \\ P_1(2) = -20 \\ P_1(3) = -20 \\ P_1(4) = -20 \end{cases}$$

i) trouvons s qui maximise le profit :

On veut trouver le stock s qui maximise $P_s(X)$, on cherche donc :

$$\max_{s \in \Omega} \mathbb{E}[P_s(X)] \quad (15)$$

Avec $\mathbb{E}[P_s(X)] = 100\mathbb{E}[X \cdot \mathbb{1}_{\{X \leq s\}}] - 20s$, on veut donc maximiser la fonctionnelle :

$$\begin{aligned} \mathbb{E}[P_s(X)] &= 100\mathbb{E}[X \cdot \mathbb{1}_{\{X \leq s\}}] - 20s \\ &= 100 \left(\sum_{i=0}^4 i \times \mathbb{1}_{\{i \leq s\}} \times \mathbb{P}(X = i) \right) - 20s \\ &= 100(0, 15 \cdot \mathbb{1}_{\{1 \leq s\}} + 2 \times 0, 3 \cdot \mathbb{1}_{\{2 \leq s\}} + 3 \times 0, 25 \cdot \mathbb{1}_{\{3 \leq s\}} + 4 \times 0, 2 \cdot \mathbb{1}_{\{4 \leq s\}}) - 20s = f(s) \end{aligned}$$

On veut donc trouver la solution du problème :

$$\max_{s \in \Omega} f(s) \quad (16)$$

ii) trouvons s qui minimise le risque :

Le risque est définie par l'écart-type du profit, on le note σ_s et on a :

$$\sigma_s = \sqrt{\text{Var}(P_s(X))}$$

On veut donc trouver le stock s qui minimise σ_s , on cherche donc :

$$\min_{s \in \Omega} \sigma_s \quad (17)$$

Or,

$$\begin{aligned}\sqrt{\text{Var}(P_s(X))} &= 100\sqrt{\text{Var}(X \cdot \mathbb{1}_{\{X \leq s\}})} \\ &= 100\sqrt{(\mathbb{E}[X^2 \cdot \mathbb{1}_{\{X \leq s\}}] - \mathbb{E}[X \cdot \mathbb{1}_{\{X \leq s\}}]^2)} = g(s)\end{aligned}$$

On veut donc trouver la solution du problème :

$$\min_{s \in \Omega} g(s) \quad (18)$$

Ici, $s \in \{0, \dots, 4\}$ ainsi on peut faire un petit code python qui calculera les différentes valeurs de $f(s)$ et $g(s)$ puis nous ferons le ratio $r = \frac{f(s)}{g(s)}$ et nous prendrons la valeur de s qui minimise $\left| \frac{f(s)}{g(s)} - 1 \right|$. ce ration signifie que minimiser g à le même poids que maximiser f .

Pour le calcul de f et g dans le cas (3.1) nous avons les codes python suivant :

```
1 def espX(p,s):
2     #cette fonction nous donne E[X*indicatrice(X<=s)]
3     esp=0
4     i=1
5     while i<=s:
6         esp=esp+i*p[i]
7         i=i+1
8     return esp
9
10 def espX2(p,s):
11     #cette fonction nous donne E[X^2*indicatrice(X<=s)]
12     esp=0
13     i=1
14     while i<=s:
15         esp=esp+i*i*p[i]
16         i=i+1
17     return esp
18
19 def fg(p,s):
20     #cette fonction nous donne la valeur de f(s) et g(s)
21     esp=espX(p,s)
22     f=100*esp-20*s
23     g=100*np.sqrt(espX2(p,s)-esp*esp)
24     return f,g
25
26 def Calcul_fg(p):
27     #Cette fonction retourne des vecteurs de taille 5
28     #tq: F[i]=f(i) et G[i]=g(i)
29     F=np.zeros(5)
30     G=np.zeros(5)
31     for s in range(5):
32         F[s],G[s]=fg(p,s)
33
34     return F,G
```

Voici les résultats obtenus ainsi que la valeur de s qui maximise le profit tout en minimisant les risques :

```
Voici un tableau contenant l'ensemble des profits réalisable ainsi que leurs risques en fonction du stock s

Ici, les probas sont P=[ 0.1 | 0.15 | 0.3 | 0.25 | 0.2 ]

s | f(s) | g(s) | ratio
0 | 0.00 | 0.00 | nan
1 | -5.00 | 35.71 | -0.14
2 | 35.00 | 88.74 | 0.39
3 | 90.00 | 116.19 | 0.77
4 | 150.00 | 122.88 | 1.22

Ainsi la valeur de s qui maximise le profit tout en minimisant les risques est s= 4
```

3.2 Question 2 :

Soit maintenant,

Nombre d'unités louées	0	1	2	3	4
Probabilités	p_0	p_1	p_2	p_3	p_4

- a : les frais d'exploitation.
- b : les frais fixes.
- r : le prix de la location journalière.

On suppose que a, b et $r \geq 0$.

On a notre nouvelle fonction profit, construit par le même principe que en (3.1) :

$$P_s(X) = (r - a)X \cdot \mathbb{1}_{\{X \leq s\}} - bs \quad (19)$$

3.2.1 les conditions $a < r$ et $0 < b < r - a$

i) la condition $a < r$

Si cette condition n'est pas respectée alors $\forall s \in \Omega$, le profit sera toujours négatif. En effet, soit $r \geq a$, on a $P_s(X) = (r - a)X \cdot \mathbb{1}_{\{X \leq s\}} - bs \leq -\text{Min}(a - r, s) \times (X \cdot \mathbb{1}_{\{X \leq s\}} + s)$ avec $X \cdot \mathbb{1}_{\{X \leq s\}} + s \geq 0$, $r - a \geq 0$ et $s \geq 0$ donc $P_s(X) = (r - a)X \cdot \mathbb{1}_{\{X \leq s\}} - bs \leq -\text{Min}(a - r, s) \times (X \cdot \mathbb{1}_{\{X \leq s\}} + s) \leq 0$. En d'autres termes, les frais d'exploitation ne peuvent excéder les frais de locations.

ii) la condition $0 < b < r - a$

Cette condition signifie que les frais fixes font toujours parties des coûts d'une entreprise, en effet, d'après wikipédia les frais fixes sont "les dépenses d'une entreprise qui ne dépendent pas de sa production". De plus, la condition $b < r - a$ implique que les frais fixes doivent toujours être inférieur au bénéfice sinon l'entreprise serait la encore en déficit.

3.2.2 les problèmes de Min et Max pour des valeurs de a, b et r qui respecte les conditions (3.2.1)

D'après (3.1), nous avons les deux problèmes de maximisation/minimisation :

$$\text{Max}_{s \in \Omega} \mathbb{E}[P_s(X)] \quad (20)$$

$$\text{Min}_{s \in \Omega} \sqrt{\text{Var}(P_s(X))} \quad (21)$$

Avec,

$$\mathbb{E}[P_s(X)] = (r - a)\mathbb{E}[X \cdot \mathbb{1}_{\{X \leq s\}}] - bs = f(s)$$

$$\begin{aligned} \text{Et, } \sqrt{\text{Var}(P_s(X))} &= (r - a)\sqrt{\text{Var}(X \cdot \mathbb{1}_{\{X \leq s\}})} \\ &= (r - a)\sqrt{(\mathbb{E}[X^2 \cdot \mathbb{1}_{\{X \leq s\}}] - \mathbb{E}[X \cdot \mathbb{1}_{\{X \leq s\}}]^2)} = g(s) \end{aligned}$$

Ainsi les problèmes (21) et (20) se réécrivent :

$$\text{Max}_{s \in \Omega} f(s) \quad (22)$$

$$\text{Min}_{s \in \Omega} g(s) \quad (23)$$

Nous allons résoudre ces problèmes avec des codes python et afficher les différentes valeurs ainsi que la valeurs de s qui maximise f tout en minimisant g dans un document texte.

3.2.3 les codes et script python

```
1 def fg(a,b,r,p,s):
2     #cette fonction retourne la valeur de f(s) et g(s)
3     #r : le prix de la location journaliere
4     #a : les frais d'exploitation
5     #b : les frais fixe
6     esp=q1.espx(p,s)
7     f=(r-a)*esp-b*s
8     g=(r-a)*np.sqrt(q1.espx2(p,s)-esp*esp)
9     return f,g
10
11 def Calcul_fg(p,a,b,r):
12     #Cette fonction retourne des vecteurs de taille 5
13     #tq: F[i]=f(i) et G[i]=g(i)
14     #r : le prix de la location journaliere
15     #a : les frais d'exploitation
16     #b : les frais fixe
17     F=np.zeros(5)
18     G=np.zeros(5)
19     for s in range(5):
20         F[s],G[s]=fg(a,b,r,p,s)
21     return F,G

1 #####
2 # #question 1
3 # P = [0.1, 0.15, 0.3, 0.25, 0.2]
4 # F,G=q1.Calcul_fg(P)
5 #####
6
7 #####
8 #question 2
9 P=[0.1,0.08,0.5,0.1,0.22]
10 a=40
11 b=60
12 r=220
13 F,G=q2.Calcul_fg(P,a,b,r)
14 #####
15
16 n=len(P)
17 rt=np.zeros(n)
18 rt[0]=nan
19 for i in range(1,n):
20     rt[i]=F[i]/G[i]
21 abs_r=[abs(x-1) for x in rt[1:]]
22
23 #ecriture dans un fichier texte "result2" du tableau des differents profits
24 fichier=open("result2.txt","w")
25 fichier.write("Voici un tableau contenant l'ensemble des profits realisable ainsi que
26     leurs risques en fonction du stock s\n")
27 fichier.write("\n")
28 fichier.write(f"Ici, les probas sont P=[ {P[0]} | {P[1]} | {P[2]} | {P[3]} | {P[4]} ]\n")
29
30 fichier.write("\n")
31 #####
32 fichier.write(f"les frais d'exploitation a={a}\n")
33 fichier.write(f"les frais fixes b={b}\n")
34 fichier.write(f"le prix d'une location r={r}\n")
35 #####
36 fichier.write("\n")
37 fichier.write("s | f(s) | g(s) | ratio \n")
38 for i in range(n):
39     fichier.write(f"{{i}} | {{F[i]:.2f}} | {{G[i]:.2f}} | {{rt[i]:.2f}} \n")
40 fichier.write("\n")
41 fichier.write(f"Ainsi la valeur de s qui maximise le profit tout en minimisant les
42     risques est s= {abs_r.index(min(abs_r))+1}\n")
43 fichier.close()
```

Voici les fichiers texte obtenus :

Voici un tableau contenant l'ensemble des profits réalisable ainsi que leurs risques en fonction du stock s

Ici, les probas sont $P=[0.2 \mid 0.4 \mid 0.15 \mid 0.1 \mid 0.15]$

les frais d'exploitation $a=10$

les frais fixes $b=5$

le prix d'une location $r=140$

s	$f(s)$	$g(s)$	ratio
0	0.00	0.00	nan
1	47.00	63.69	0.74
2	81.00	92.84	0.87
3	115.00	123.33	0.93
4	188.00	171.48	1.10

Ainsi la valeur de s qui maximise le profit tout en minimisant les risques est $s=3$

Voici un tableau contenant l'ensemble des profits réalisable ainsi que leurs risques en fonction du stock s

Ici, les probas sont $P=[0.1 \mid 0.08 \mid 0.5 \mid 0.1 \mid 0.22]$

les frais d'exploitation $a=40$

les frais fixes $b=60$

le prix d'une location $r=220$

s	$f(s)$	$g(s)$	ratio
0	0.00	0.00	nan
1	-45.60	48.83	-0.93
2	74.40	172.05	0.43
3	68.40	186.68	0.37
4	166.80	212.40	0.79

Ainsi la valeur de s qui maximise le profit tout en minimisant les risques est $s=4$

4 ANNEXE : liens vers les codes utilisés

Voici un lien .git qui contient l'ensemble des codes utilisés dans ce DM :
https://github.com/enzoben/Benbalit_Enzo_MACS_2_printemps_2023.